

# بهبود پایداری گذرا سیستم‌های قدرت با استفاده از کنترل فازی STATCOM

علیرضا غوری (کاشناس ارشد)  
دانشگاه آزاد اسلامی واحد ساری

محمد رضا ذوالقدری (استادیار)

مهدي احسان (استاد)  
دانشکده هندسی برق، دانشگاه صنعتی شریف

سیستم‌های قدرت امروزی به عملت کسترش و پراکنده‌گی روزافزون و طرح مسافتی چون تجدید ساختار، در حال تغییر و تحول اند. با استفاده از سیستم‌های انتقال جریان متاتوب انعطاف‌پذیر (FACTS) می‌توان کنترل‌پذیری و پایداری سیستم‌های قدرت را افزایش داد. یکی از ادوات سیستم‌های انتقال جریان متاتوب انعطاف‌پذیر موازی همان STATCOM است که با استفاده از آن می‌توان پایداری ولتاژ دینامیکی و گذرا سیستم قدرت را بهبود بخشید. در این نوشتار، کاربرد و کنترل مناسب STATCOM برای بهبود پایداری گذرا، مورد بررسی قرار گرفته است. برای درنظرگرفتن عدم قطعیت‌های موجود در سیستم و اجتناب از پیچیدگی‌های موجود در مدل سازی، از منطق فازی برای طراحی کنترل‌کننده STATCOM استفاده شده است. طراحی کنترل‌کننده STATCOM براساس وروی‌های مختلف انجام شده و نتایج طراحی، از طریق شبیه‌سازی بر روی سیستم تک‌ماشین-باس بی‌نهایت و سیستم چندماشینه مورد بررسی قرار گرفته است.

zolghadr@sharif.edu  
arghafouri@alum.sharif.edu  
ehsan@sharif.edu

وازگان کلیدی: کنترل فازی، جبران‌ساز ایستای توان راکتیو، پایداری گذرا، میرابی نوسانات، زمان بحرانی رفع خطأ.

## مقدمه

سیستم قدرت، نقطه‌ی کار حالت تعادل قبل از اغتشاش و بعد از رفع آن، و همچنین به دامنه و مدت زمان اغتشاش وارد و بستگی دارد. یک سیستم قدرت پایدار گذراست اگر سیستم پس از رفع خطا بتواند به حالت تعادل پایدار قابل قبول برسد. برای ارزیابی پایداری گذرا سیستم قدرت، حد پایداری یا زمان بحرانی رفع خطا (CCT) <sup>۱</sup> تعیین می‌شود. هر قدر این زمان با مدت زمان تداوم خطا فاصله‌ی بیشتری داشته باشد، حاشیه‌ی پایداری سیستم بیشتر خواهد بود. مبانی نظری پایداری گذرا در کتاب‌ها و مراجع متفاوت مورد بررسی قرار گرفته است.<sup>[۱-۴]</sup>

پیشرفت‌هایی صورت گرفته در زمینه ادوات الکترونیک قدرت در اوخر دهه‌ی ۱۹۸۰ منجر به ساخت سیستم‌های انتقال متاتوب انعطاف‌پذیر (FACTS) شد.

این ادوات کنترل‌پذیری ولتاژ و توان را برای افزایش بهره‌وری و پایداری سیستم‌های موجود افزایش می‌دهند.<sup>[۵]</sup> تاکنون کنترل‌کننده‌های بسیاری برای ادوات سیستم‌های انتقال متاتوب انعطاف‌پذیر (FACTS) طراحی شده‌اند. از جمله‌ی این کنترل‌کننده‌ها می‌توان به نمونه‌هایی که برای مدل خطی شده در نقاط کار ویژه طراحی شده‌اند اشاره کرد.<sup>[۶]</sup> سایر موارد شامل کنترل‌کننده‌های پیشرفت‌هه است که برای درنظر گرفتن تغییرات نقطه‌ی کار سیستم طراحی می‌شوند. کنترل مقاوم، تطبیقی و کنترل فازی از جمله روش‌هایی هستند که برای این منظور مورد استفاده قرار گرفته‌اند.<sup>[۷]</sup>

در سال‌های اخیر به عملت تجدید ساختار سیستم‌های قدرت، بسیاری از ویژگی‌های اقتصادی و فنی صنعت برق در بخش‌های مختلف — از جمله تولید، انتقال، توزیع و مصرف — تحت تأثیر قرار گرفته‌اند. این مسئله بهویه در شبکه‌های انتقال که با رگذاری خطوط آنها باید تا حد حرارتی آنها افزایش یابد و بنابراین از محدوده‌ی حاشیه‌ی پایداری فعلی خود تجاوز می‌شود. بنابراین برای دست یابی به سطح قابل قبولی از قابلیت اطمینان باید استراتژی‌های کنترلی ویژه‌ی به کار گرفته شود که نه تنها در حالت کارکرد عادی سیستم بلکه پس از ایجاد تغییرات ساختاری قابل ملاحظه مثل خارج شدن واحد‌های تولید، خطوط انتقال و یا تغییر شرایط بار تداوم تأمین نیاز مصرف‌کننده از دست نزد.

پایداری سیستم‌های قدرت به دو صورت «پایداری ولتاژ» و «پایداری زاویه‌یی» مورد بررسی قرار می‌گیرد. ناپایداری استاتیک یا ناپایداری ولتاژ براثر تغییرات آهسته و مدامه بار در سیستم قدرت رخ می‌دهد. پایداری زاویه‌یی در سیستم‌های قدرت متناسب با دامنه‌ی اغتشاشات و فرکانس آنها در دو حالت سیگنال کوچک (دینامیک) و گذرا مورد مطالعه قرار می‌گیرد. چنانچه دامنه‌ی اغتشاش وارد شده بزرگ باشد، پایداری سیستم تحت عنوان پایداری گذرا مطرح می‌شود. پایداری گذرا به ساختار

[۱-۷]

تاریخ: دریافت ۱۳۸۶/۴/۲۷، داوری ۱۳۸۷/۵/۱۵، پذیرش ۱۳۸۸/۶/۴.

- طراحی یک سیستم فازی تصمیم‌گیرنده برای تغییر وضعیت بین کنترل میرایی نوسانات و پایداری گذرا:

- تنظیم پارامترهای کنترل کننده‌ی فازی به منظور عملکرد مناسب در بهبود توان پایداری گذرا و میرایی نوسانات؛

- شبیه‌سازی و مقایسه‌ی روش‌های مطرح شده و ارائه‌ی راهکارهایی درمورد سیستم چندماشینه.

در ادامه، مدل COM برای مطالعات پایداری گذرا ارائه شده و اثر-STATCOM بر پایداری گذرا نیز مطرح شده است. استراتژی‌های کنترل STATCOM نیز مورد بررسی قرار گرفته است؛ بدین منظور ابتدا ساختار کنترل کننده‌ی فازی بیان شده و سپس کنترل کننده‌های مورد نظر با استفاده از رودهای مختلف طراحی شده‌اند. پس از آن، روش‌های پیشنهادی بر روی سیستم تک ماشین - باس بی‌نهایت شبیه‌سازی شده‌اند. در پایان، شبیه‌سازی بر روی سیستم چندماشینه انجام شده و ملاحظات و روش‌های مربوط به سیستم چندماشینه بیان شده‌اند.

## مدل سازی STATCOM

در سیستم قدرت عملکرد STATCOM همانند کنداسور سنکرون است که به طور معمول می‌تواند توان فعال مورد نیاز را تأمین کند. هر STATCOM از یک منبع ولتاژ DC به همراه سوییچ‌های قابل کنترل (اینورتر) و یک ترانس تشکیل شده و به صورت موازی با شبکه قرار می‌گیرد. به منظور مطالعات پایداری می‌توان STATCOM را به‌وسیله‌ی یک منبع جریان موازی قابل کنترل شکل ۱ مدل کرد.<sup>[۱۹]</sup> زاویه‌ی فاز جریان STATCOM همواره ۹۰ درجه با زاویه‌ی فاز ولتاژ باسی که بر روی آن نصب شده اختلاف دارد. بنابراین می‌توان آن را به صورت رابطه‌ی ۱ بیان کرد:

$$I_{STATCOM} = I_{STATCOM} e^{j(\delta_m \pm 90^\circ)} \quad (1)$$

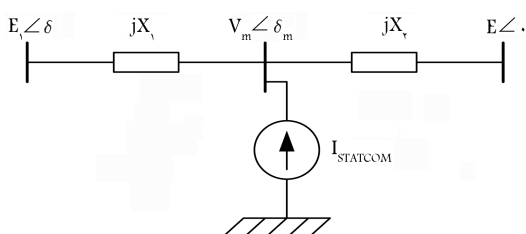
در حالت خازنی،  $I_{STATCOM}$  پیش‌فاز و در حالت سلفی پس‌فاز است. علامت‌های مشیت و منفی به ترتیب نمایش‌گر حالت‌های سلفی و خازنی‌اند.

## اثر STATCOM در پایداری گذرا

در حالت خازنی، ولتاژ و زاویه‌ی باس (m) را می‌توان مطابق روابط ۲ و ۳ نشان داد:<sup>[۱۸]</sup>

$$V_m = \frac{E_1 X_2 \cos(\delta - \delta_m) + E_2 X_1 \cos \delta_m + X_1 X_2 I_{STATCOM}}{X_1 + X_2} \quad (2)$$

$$\delta_m = \tan^{-1}\left(\frac{E_1 X_2 \sin \delta}{E_2 X_1 + E_1 X_2 \cos \delta}\right) \quad (3)$$



شکل ۱. سیستم تک ماشین - باس بی‌نهایت به‌همراه STATCOM.

در این تحقیق پایداری گذرا در کانون توجه قرار گرفته است. یکی از اولین و پرکاربردترین روش‌های بررسی پایداری گذرا استفاده از شاخص سطوح برابر است، که براساس سیستم تک ماشین - باس <sup>۲</sup> بی‌نهایت بوده و از مدل ساده‌شده سیستم بهره می‌گیرد. در این روش، برای بررسی حاشیه‌ی پایداری یا زمان بحرانی رفع خطأ حل معادلات دینامیک غیرخطی سیستم ضرورت می‌باشد. روش رانگ کوتا و اویلر از جمله روش‌هایی هستند که برای حل این معادلات به کار می‌روند.<sup>[۲۰]</sup> روش مستقیم استفاده ازتابع انرژی سیستم نمونه‌ی از روش‌های به کار گرفته شده برای تحلیل پایداری گذرا است. روش‌های مبتنی بر انرژی، موارد حاصلی از روش دوم لی پانوفاند.

برای طراحی کنترل کننده STATCOM از رویکرد تابع انرژی استفاده شده است.<sup>[۱۳]</sup> عملکرد این کنترل کننده به‌ نحوی است که مشتق تابع انرژی سیستم در حضور STATCOM منفی می‌شود، یعنی انرژی سیستم استفاده شده و سیستم به صورت تک ماشین - این رویکرد از مدل ساده‌شده سیستم استفاده شده و سیستم به صورت تک ماشین - باس بی‌نهایت است. همچنین این روش درمورد سیستم چندماشینه به کار گرفته و تتابع حاصل از آن، بدون ارائه اثبات ریاضی، ارائه شده‌اند. یکی از مهم‌ترین مشکلات روش مستقیم تحلیل پایداری گذرا (طراحی کنترل کننده برای بهبود پایداری گذرا)، واستگاه این روش به مدل سیستم قدرت برای تعریف تابع انرژی، به خصوص درمورد سیستم چندماشینه است. با فرض این که معادلات دینامیکی سیستم به درستی مدل شده و تابع انرژی مناسب نیز تعریف شود، طراحی کنترل کننده از این روش و پیاده‌سازی عملی آن، به دلیل لزوم اندازه‌گیری در نقاط مختلف سیستم، بسیار مشکل است.<sup>[۱۴]</sup>

در سال ۱۹۷۳ منطق فازی و قانون مند به عنوان ابزاری برای در نظر گرفتن عدم قطعیت و تجربیات انسان، توسط زاده <sup>۳</sup> معروف شد. در ارتباط با این کنترل کننده تحقیقات نظری و تحلیلی قابل توجهی انجام شده است.<sup>[۱۵]</sup> یکی از ویژگی‌های اصلی کنترل فازی، توانایی آن برای دریافت خواص سیستم کنترل به صورت کیفی و براساس پدیده‌های قابل رویت است. پیچیدگی و مشکلات پیاده‌سازی کنترل کننده‌های سنتی باعث می‌شود که شیوه‌های کنترل هوشمند -- نظری منطق فازی -- مورد توجه قرار گیرد. استفاده از این شیوه‌ها راه حلی است برای کنترل سیستم‌های دارای خاصیت غیرخطی و نیز تأخیر و عدم قطعیت -- که از ویژگی سیستم‌های قدرت است.<sup>[۱۶]</sup>

تنظیم پارامترهای کنترل کننده PI از طریق منطق فازی انجام شده است.<sup>[۲۰]</sup> در این رابطه، یک کنترل کننده‌ی فازی برای ادوات FACTS سری پیشنهاد شده که تنظیم پارامترهای آن براساس کنترل کننده PI بهینه‌سازی شده است.<sup>[۲۱]</sup> همچنین در کنترل کننده‌ی فازی که برای SVC طراحی شده است<sup>[۲۲]</sup> سیگنال کنترل براساس زاویه و فرکانس در دستگاه COI <sup>۴</sup> است که این خود پیچیدگی‌هایی را به مسئله می‌افزاید. عملکرد این کنترل کننده مبتنی بر مدل سازی یک سیستم چندماشینه به صورت دو تاچیه‌ی متصلب به هم از طریق خط واصل است که SVC می‌باشد نوسانات بین این دو تاچیه را به کمترین حد ممکن برساند، بهویژه که در طراحی کنترل کننده‌ی فازی نیز از نمودار توان فعال خط واصل برحسب اختلاف زاویه‌ی دو ژنراتور معادل در هر تاچیه استفاده شده است. در کنترل کننده‌های فازی طراحی شده براساس تابع انرژی سیستم ساده شده<sup>[۲۳]</sup> نیز مشکلات موجود در روش تابع انرژی به چشم می‌خورد، هرچند ممکن است در شبیه‌سازی بر روی یک سیستم، به بهبود پایداری کمک کند. مهم‌ترین رویکردهای این تحقیق را می‌توان چنین برشمرد:

- طراحی کنترل کننده‌ی فازی براساس ورودهای مختلف، نظری فرکانس ژنراتورها، فرکانس باس STATCOM و توان فعال شایسته‌سازی <sup>۵</sup> شده؛

دست نبودن اطلاعات دقیقی از مدل اجزاء سیستم، باید به دنبال روشی برای تعیین زمان سوئیچینگ با در نظر گرفتن تغییرات و عدم قطعیت‌های موجود در سیستم باشیم. در این تحقیق برای تعیین زمان سوئیچینگ بین حالت‌های مختلف براساس منطق فازی روشی ارائه خواهد شد.

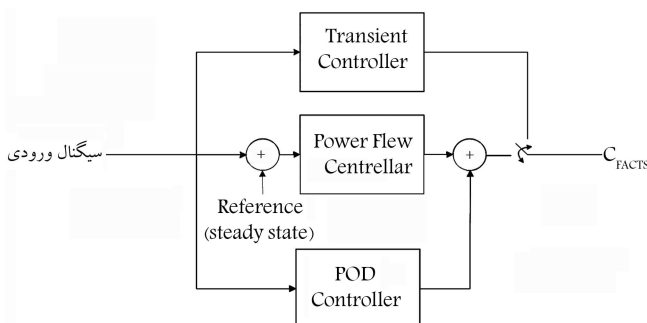
### الف) ساختار کنترل کننده فازی

چنان‌که در شکل ۴ نشان داده شده، کنترل کننده فازی از ۳ قسمت اصلی تشکیل شده است. ابتدا ورودی‌های کنترل کننده وارد قسمت فازی ساز می‌شوند. در این قسمت مقادیر ورودی در قالب مجموعه‌های فازی درخواهند آمد. در قسمت استنتاج، براساس قوانین تعریف شده در پایگاه قوانین، برای مقادیر فازی ورودی، تصمیم‌گیری انجام می‌شود. در نهایت خروجی قسمت استنتاج توسعه غیرفازی ساز به صورت غیرفازی درمی‌آید و به عنوان سیگنال کنترلی قابل استفاده است.

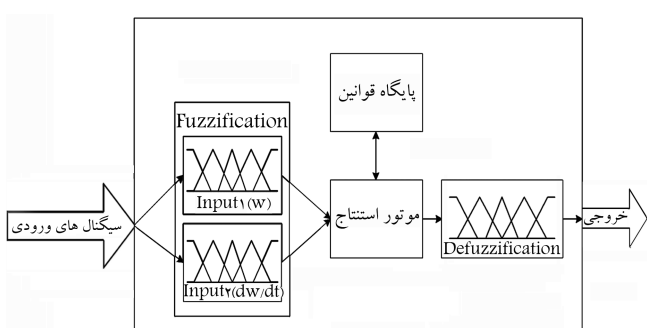
### ب) سوئیچینگ از وضعیت کنترل پخش بار به وضعیت کنترل پایداری گذرا

ابتدا سیستم تک‌ماشین - باس بی‌نهایت شکل ۱ را در نظر می‌گیریم. در حالت عادی، کنترل کننده STATCOM در حالت توزیع بار قرار دارد. برای تشخیص رخداد خطای منجر به ناپایداری، برخی از متغیرهای حالت سیستم اندازه‌گیری، و به عنوان ورودی کنترل کننده استفاده می‌شود(شکل ۵).

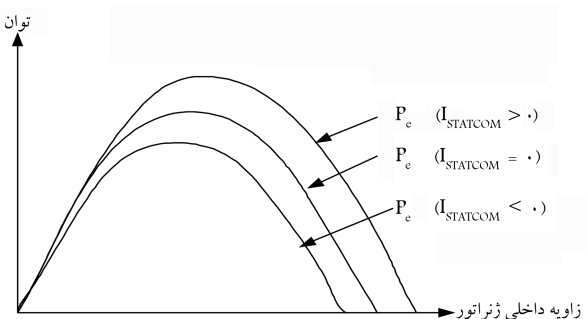
در چنین وضعیتی، STATCOM در بیشترین ظرفیت خازنی قرار گرفته و حداقل توان راکتیو مجاز را به شیوه تزریق می‌کند. با استفاده از کنترل کننده فازی می‌توان تصمیم‌گیری را براساس ورودی‌های مختلف انجام داده و اثر هرکدام را در خروجی واحد تصمیم‌گیری به نحو مناسبی وارد کرد. برای این منظور از فرکانس ژنراتور و مشتق آن به عنوان ورودی استفاده شده است. به عنوان مثال اگر سرعت ژنراتور و



شکل ۳. کنترل کننده‌های مختلف پس از رخداد خطأ.



شکل ۴. ساختار کنترل کننده فازی.



شکل ۲. تأثیر STATCOM بر روی منحنی توان الکتریکی.

که در آن،  $E_1$  ولتاژ داخلی ژنراتور E ولتاژ باس بی‌نهایت،  $V_m$  ولتاژ باسی که STATCOM بر روی آن قدر گرفته،  $\delta$  زاویه‌ی داخلی ژنراتور، و  $\delta_m$  زاویه‌ی باس است. توان خروجی ژنراتور نیز چنین محاسبه می‌شود:

$$P_e = \frac{E_1 V_m}{X_1} \sin(\delta - \delta_m) \quad (4)$$

با استفاده از روابط ۲ و ۳، رابطه‌ی ۴ را می‌توان چنین بازنویسی کرد:

$$P_e = P_{\max} \sin \delta + c I_s \sin(\delta - \delta_m) \quad (5)$$

که در آن

$$c = \frac{E_1 X_2}{X_1 + X_2}, \quad P_{\max} = \frac{E_1 E}{X_1 + X_2}$$

اثر STATCOM بر منحنی توان را در یک سیستم تک‌ماشین - باس بی‌نهایت، می‌توان با استفاده از شکل ۲ برسی کرد. در حالت خازنی، حد توان انتقالی افزایش یافته و در حالت سلفی این مقدار کاهش می‌یابد. بنابراین با کنترل مناسب STATCOM می‌توان حاشیه‌ی پایداری سیستم را افزایش داد.

## استراتژی‌های کنترل STATCOM

پس از وقوع یک اغتشاش بزرگ، معمولاً سه دوره‌ی زمانی برای اعمال کنترلی مناسب ادوات FACTS درنظر گرفته می‌شود.<sup>[۶]</sup> در آغاز، با تشخیص وقوع خطأ، کنترل گذرا وارد عمل می‌شود. در حالت کنترل گذرا، ادوات FACTS باید مکان انتقال توان الکتریکی بیشتری را برای خط انتقالی که بر روی آن نصب شده‌اند فراهم آورند. به عنوان مثال، STATCOM باید در بیشینه‌ی ظرفیت خازنی خود قدر گیرد. پس از برقراری پایداری اولین نوسان، کنترل کننده به حالت کنترل میرایی نوسانات توان<sup>۲</sup> (POD) وارد می‌شود. هدف این کنترل کننده که معمولاً از چند جبران‌ساز پیش‌فاز - پس‌فاز سری تشکیل شده است، میرایی هرچه سریع‌تر نوسانات و رسیدن به نقطه تعادل پس از خطأ است. در نهایت کنترل کننده توانی توزیع بار، که معمولاً یک کنترل کننده‌ی PI است، با هدف رساندن متغیرهای سیستم به مقادیر حالت ماندگار، وارد عمل می‌شود. مثلاً STATCOM باید ولتاژ باسی را که بر روی آن نصب شده به مقادار مورد نظر بررساند. شکل ۳ کنترل کننده‌های فوق و چگونگی عملکرد آنها را نشان می‌دهد. در کنترل کننده‌های سنتی، سوئیچینگ بین حالت‌های مختلف، در زمان‌های ثابت و از پیش تعیین شده انجام می‌شود<sup>[۶]</sup> با توجه به وابستگی زمان مناسب سوئیچینگ به پارامترهایی چون محل خطأ و زمان تداوم خطأ، و نیز به لحاظ در

جدول ۱. پایگاه قوانین کنترل کننده فازی.

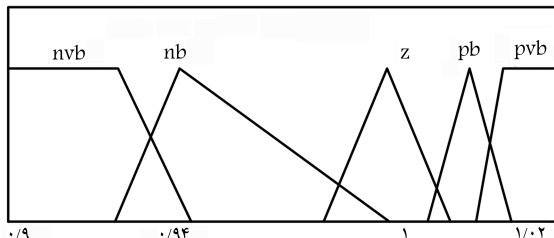
Pvb	pb	z	nb	nvb	$d\omega/dt\omega$
I	i	i	ib	ib	Nvb
Z	i	i	ib	ib	Nb
Cb	c	z	i	ib	Z
Cb	cb	c	c	z	Pb
Cb	cb	c	c	c	Pvb

شکل های ۷ تا ۹ نشان داده شده است. جدول ۱ پایگاه قوانین کنترل کننده مورد نظر را نشان می دهد.

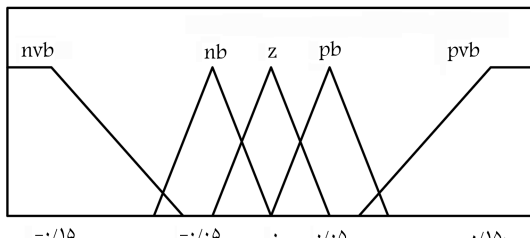
منحنی سطح کنترل کننده طراحی شده در شکل ۱۰ نشان داده شده است. با توجه به این شکل می توان مقدار خروجی کنترل کننده را در شرایط مختلف ورودی به دست آورد و رفتار کنترل کننده را شناسایی کرد.

#### ه) استفاده از توان فعال خط انتقال

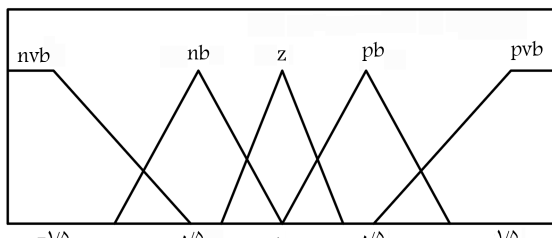
یکی از گزینه ها برای انتخاب ورودی کنترل کننده، اندازه گیری توان فعال گذرهای کنترل کننده از خط انتقال است که STATCOM بر روی آن نصب شده است. از آنجا که معمولاً ساختار سیستم قدرت پس از خط تغییر می یابد و معادلات دینامیکی و حتی توزیع بار متفاوت از حالت قبل از رخداد خطأ هستند، توان حالت ماندگار خطوط انتقال



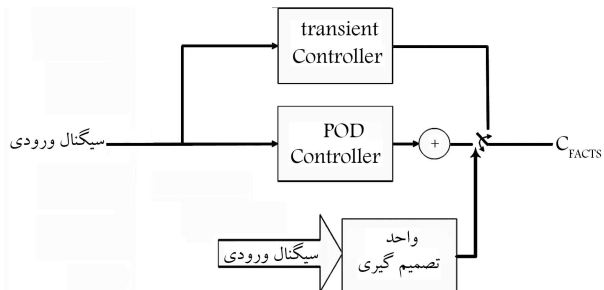
شکل ۷. توابع عضویت ورودی برای  $\omega$ .



شکل ۸. توابع عضویت ورودی برای  $d\omega/dt$ .



شکل ۹. توابع عضویت خروجی.



شکل ۵. واحد تصمیم گیری برای سوئیچینگ به حالت کنترل گذرا.

نیز مشتق آن (شتاپ آن) زیاد باشد، ژنراتور در وضعیت بحرانی، و STATCOM در مدد کنترل گذرا قرار گیرد.

#### ج) سوئیچینگ از وضعیت کنترل پایداری گذرا به وضعیت کنترل

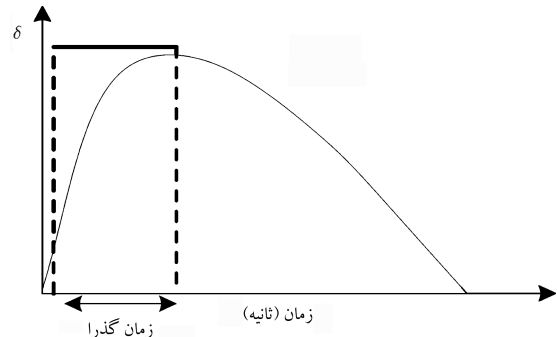
##### میرایی نوسانات توان

سوئیچینگ از وضعیت کنترل پایداری گذرا به وضعیت کنترل میرایی نوسانات توان، ممکن است براساس رؤیت زاویه ژنراتور یا فرکانس آن انجام شود. ایده ای اصلی تغییر وضعیت، ناشی از این حقیقت است که کنترل پایداری گذرا می باشد تا زمانی که زاویه ی ژنراتور به بیشترین مقدار خود می رسد، ادامه داشته باشد. شکل ۶ بازه زمانی مربوط به کنترل پایداری گذرا را نشان می دهد.

در کنترل کننده های سنتی، این زمان مقداری از پیش تعیین شده دارد، در حالی که این مقدار به عواملی چون مدت زمان تداوم خطأ، محل خطأ و آرایش سیستم در زمان خطأ بستگی دارد. بنابراین می توان مشابه حالت قبل، یک بلوک کنترل فازی برای سوئیچینگ از وضعیت کنترل پایداری گذرا به وضعیت کنترل میرایی نوسانات توان طراحی کرد. در این کنترل کننده، زمانی که زاویه ی ژنراتور بیشینه شود، یا به عبارت دیگر فرکانس ژنراتور برای اولین بار به مقدار اسمی برسد، کنترل کننده فرمان تغییر وضعیت به حالت میرایی نوسانات توان را صادر می کند.

#### د) طراحی کنترل کننده بدون استفاده از سوئیچینگ

با تنظیم مناسب پارامترهای کنترل کننده فازی می توان اعمال کنترلی لازم را در هر یک از بازه های زمانی فوق به دست آورد، به این معنی که می توان از یک کنترل کننده فازی مشترک برای پایداری گذرا و میرایی نوسانات استفاده کرد. در این تحقیق، از سیگنال های ورودی متفاوتی به عنوان ورودی کنترل کننده استفاده شده است. یکی از گزینه ها سرعت ژنراتور و مشتق آن است. توابع عضویت کنترل کننده طراحی، و در



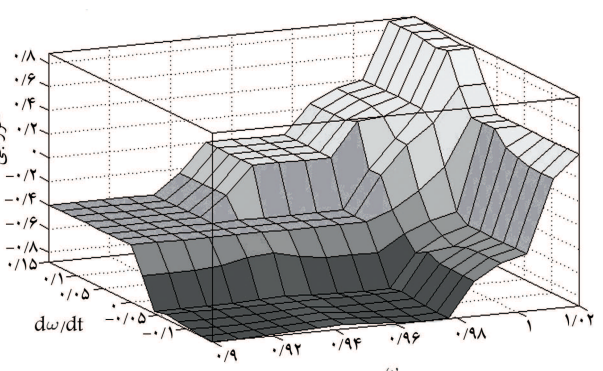
شکل ۶. بازه زمانی مربوط به کنترل پایداری گذرا.

آنگ تغییر توان الکتریکی و زاویه‌ی ژنراتور منطبق‌اند. با توجه به شکل ۱۲ این مسئله زمانی برقرار است که توان الکتریکی به مقدار اوج خود نرسیده باشد. چنانچه افزایش زاویه زیاد باشد، منحنی مطابق شکل ۱۳ خواهد بود. با توجه به نمودارهای ارائه شده در این شکل می‌توان نتیجه‌گیری کرد که این دو سیگنال از نظر عبور از مقدار حالت ماندگار هم فارند؛ یعنی در یک زمان از مقدار حالت ماندگار خود عبور نمی‌کنند. بنابراین می‌توان با استفاده از فیلتری که مقدار  $d\omega/dt$  سیگنال توان را حذف می‌کند، تنها تغییرات این سیگنال را در نظر گرفت. هرگاه سیگنال فیلتر شده صفر شود، در حقیقت به نقطه‌ی تعادل پس از خطأ رسیده‌ایم. این فیلتر  $washout filter$  را اصطلاحاً

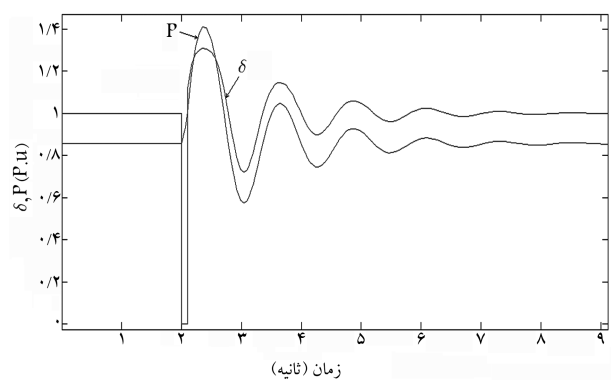
می‌نامند.<sup>[۱۴]</sup> شکل ۱۴ سیگنال اصلی و فیلتر شده را نشان می‌دهد.

چنان‌که در قسمت قبل اشاره شد، ورودی فرکانس و مشتق آن به عنوان ورودی‌های مناسب برای طراحی کنترل‌کننده مطرح‌اند. حال اگر بتوان با استفاده از سیگنال توان فیلتر شده، رفتار سیگنال فرکانس ژنراتور را تخمین زد، می‌توان کنترل‌کننده‌ی طراحی شده برای ورودی‌های فرکانس و مشتق آن را برای ورودی اصلاح شده‌ی توان به کار برد.

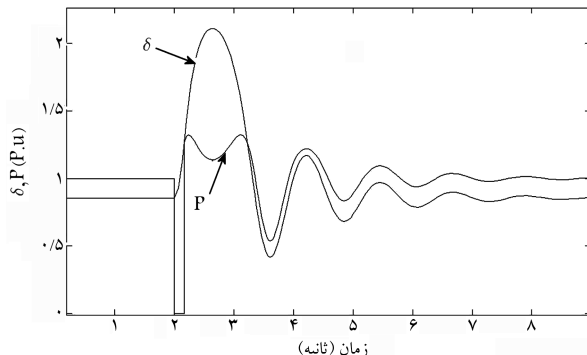
شکل ۱۵ سیگنال‌های ورودی مختلف را که می‌توان از آنها به عنوان ورودی کنترل‌کننده استفاده کرد، از نظر اختلاف فاز نشان می‌دهد. بنابراین، می‌توان از مشتق اول و دوم توان فعال به عنوان ورودی کنترل‌کننده استفاده کرد. برای این منظور، از نمودار صفحه‌ی فاز سیستم استفاده می‌کنیم. شکل ۱۶ نمودار صفحه‌ی فاز سیستم را برای متغیرهای  $P$  و  $d\Delta P/dt$  همچارشده نشان می‌دهد. با توجه به این نمودار می‌توان لحظاتی را که منحنی توان - زاویه‌ی ژنراتور از مقدار اوج خود می‌گذرد تشخیص داد. اولین نقطه از منحنی که در آن



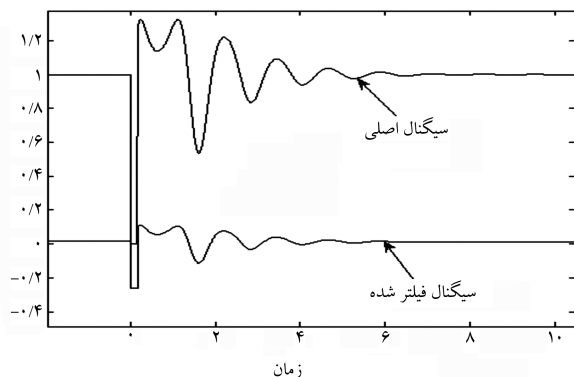
شکل ۱۰. منحنی سطح کنترل‌کننده‌ی فازی مورد نظر.



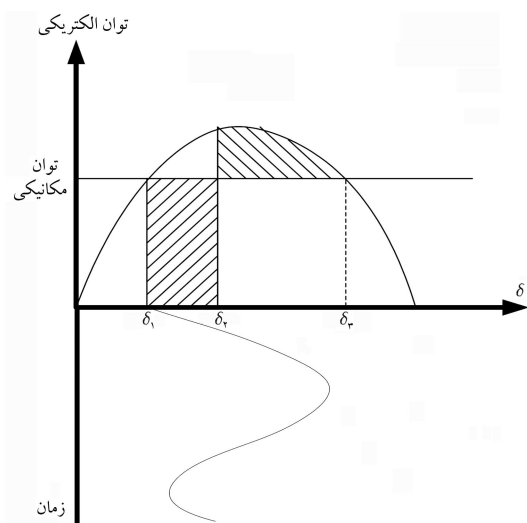
شکل ۱۱. نمودار توان الکتریکی و زاویه‌ی ژنراتور در سیستم تک ماشین-باس بی نهایت  $CT = 10^0 \text{ ms}$  (زمان رفع خط).



شکل ۱۳. نمودار توان الکتریکی و زاویه‌ی ژنراتور در سیستم تک ماشین-باس بی نهایت ( $CT = 170 \text{ ms}$ ).



شکل ۱۴. سیگنال توان فیلتر شده توسط  $washout filter$ .



شکل ۱۲. منحنی توان-زاویه‌ی ژنراتور در سیستم تک ماشین-باس بی نهایت.

نیز با مقدار پیش از خطأ متفاوت خواهد بود. بنابراین برای تعریف سیگنال خطای توان و استفاده از آن به عنوان ورودی کنترل‌کننده، با مشکلاتی مواجه خواهیم بود. برای برطرف کردن این مشکل، می‌توان سیگنال توان اندازه‌گیری شده را به نحو مناسبی تغییر داد. در شکل ۱۱ نمودار توان الکتریکی و زاویه‌ی داخلی ژنراتور پس از وقوع اتصال کوتاه سه فاز بر روی خط انتقال در سیستم تک ماشین-باس بی نهایت، رسم شده است. چنان‌که مشاهده می‌شود، در تمامی لحظات به جز لحظه‌ی اتصال کوتاه،

شبیه سازی سیستم تک ماشین - باس بی نهایت

در این قسمت، سیستم نشان داده شده در شکل ۱۷ را در نظر گرفته و از کنترل کننده‌های طراحی شده برای کنترل STATCOM استفاده می‌شود.<sup>[۱]</sup> سیستم مورد نظر با استفاده از نرم‌افزار PSCAD شبیه‌سازی شده و کنترل کننده، در نرم‌افزار Simulink بیدارسازی شده است.

ارتباط بین این دو نرم افزار از طریق بلاکی انجام می شود که در نرم افزار PSCAD تعریف شده است. وظیفه این بلاک خلاصه وار عبارت است از:

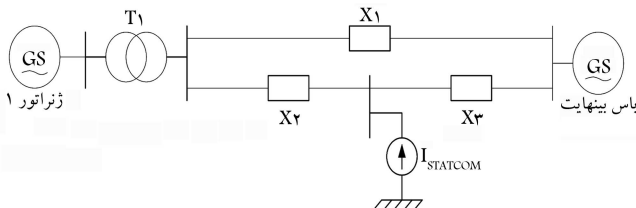
۱. دریافت ورودی های مورد نیاز کنترل کننده از سیستم قدرت:
  ۲. فراخوانی و اجرای مدل Simulink:

۳. انتقال خروجی‌های مدل Simulink (سیگنال کنترل) به PSCAD برای استفاده‌ی محرك.

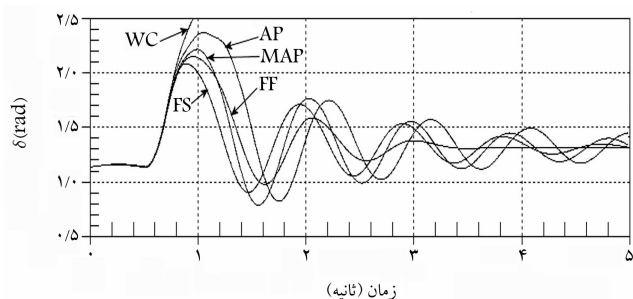
برای بررسی کارایی هر یک از کنترل کننده‌های طراحی شده، نمودار زاویه‌ی داخلی ماشین پس از یک اتصال کوتاه سه‌فاز و زمان رفع خطای ۲۰۰ میلی ثانیه در شکل ۱۸ نشان داده شده است. علاوه‌های اختصاری به کار برده شده برای هر نمودار در قسمت اختصارات مشخص شده‌اند.

زمان بحرانی رفع خطای برای هر یک از کنترل کننده های طراحی شده در جدول ۲ ارائه شده است.

با توجه به شکل ۱۸ و جدول ۲، کنترل کننده‌ی سوئیچینگ فازی از نظر بهبود ولین نوسان بهترین عملکرد را داشته است. کنترل کننده‌ی فازی فرکانس و فازی توان به ترتیب در رده‌های بعدی قرار می‌گیرند. از آنجا که پس از رخداد خطأ، کنترل کننده‌ی



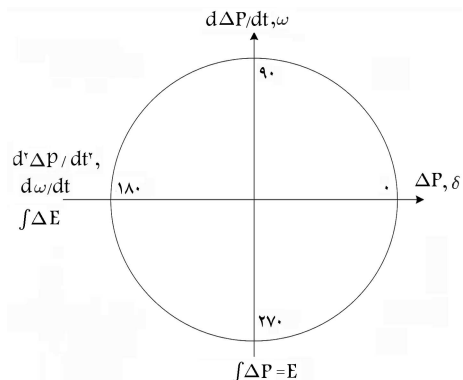
شکل ۱۷. سیستم نمونه‌ی انتخاب شده [۱].



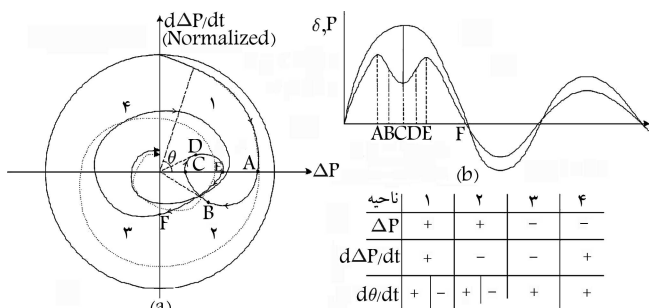
**شکل ۱۸.** نمودار زاویه‌ی داخلی ماشین پس از اتصال کوتاه سه‌فاز و زمان رفع خطای ۲۰۰ میلی‌ثانیه.

جدول ۲. زمان بحرانی رفع خطأ سیستم تک ماشین باس بی نهایت.

کنترل کننده	بدون	مکتربند	از توان اکسیتو	از فریکانس	فازی با استفاده از روش قطع و وصل	فازی با استفاده از
CCT (ms)	۱۸°	۲۱°	۲۳°	۲۴	۲۳۵	۲۳۰



شکل ۱۵. اختلاف فاز بین سیگنال‌های ورودی مختلف.



شکل ۱۶. (الف) نمودار صفحه فاز نرم‌البیزه شده، ب) توان و زاویه ژنراتور، ج) جدول تغییرات.

$d\Delta P/dt$  برابر صفر می‌شود، نقطه‌ای است که منحنی توان برای اولین بار و با افزایش زاویه‌ی زبراتور از مقدار اوج عبور می‌کند. با کاهش زاویه‌ی زبراتور منحنی توان مجدداً از مقدار اوج خود عبور کرده و  $d\Delta P/dt$  بار دیگر صفر خواهد شد. چنانچه منحنی توان- زاویه‌ی زبراتور از نقطه‌ای اوج خود عبور نکند، مسیر سیستم نوایی ۱، ۲، ۳ و ۴ را به ترتیب طی خواهد کرد. در غیر این صورت به ترتیب نوایی ۱، ۲، ۱۲ و ۳ طی خواهد شد. می‌توان با در نظر گرفتن ترتیب طی شدن این نوایی تشخیص داد که آیا منحنی توان- زاویه‌ی زبراتور از مقدار اوج خود گذشته و سیگنال  $d\Delta P/dt$  را که به عنوان ورودی کنترل‌کننده استفاده می‌شود، اصلاح کرد. با توجه به این مسئله که پس از رخداد خطأ، هرچه سریع‌تر باید پایداری گذرا در سیستم برقرار شود، بنابراین به دنبال روشی برای تشخیص سریع تر این مسئله و کنترل مناسب آن هستیم. با توجه به شکل ۱۶  $d\theta/dt$  همواره مشتب است مگر در حالتی که منحنی از مقدار اوج خود عبور کند. در لحظه‌ی که  $d\theta/dt$  برای اولین بار برای با صفر می‌شود، منحنی هنوز وارد ناحیه‌ی ۱ نشده است نقطه (B)، لذا سیستم تشخیص با استفاده از این روش سریع‌تر عمل کرده و سیگنال  $d\Delta P/dt$  را اصلاح خواهد کرد. بنابراین کنترل‌کننده فازی براساس سیگنال‌های ورودی  $dt$  و  $d\Delta P/dt$  اصلاح شده و  $d\theta/dt$  طراحی خواهد شد.

و) استفاده از فرکانسر، بار، STATCOM

یکی دیگر از سیستم‌هایی که می‌توان به صورت محلی اندازه‌گیری کرد و از آن به عنوان ورودی کنترل کننده استفاده کرد، فرکانس باس STATCOM است. وقوع اختشاش در سیستم باعث تغییر فرکانس ژنراتورها و درنتیجه، تغییر فرکانس در تمامی باس‌های سیستم می‌شود. با دنظر گرفتن تغییرات فرکانس باس STATCOM می‌توان به وقوع اختشاش در سیستم بپردازد و همانند کنترل براساس فرکانس ژنراتور عمل کرد.

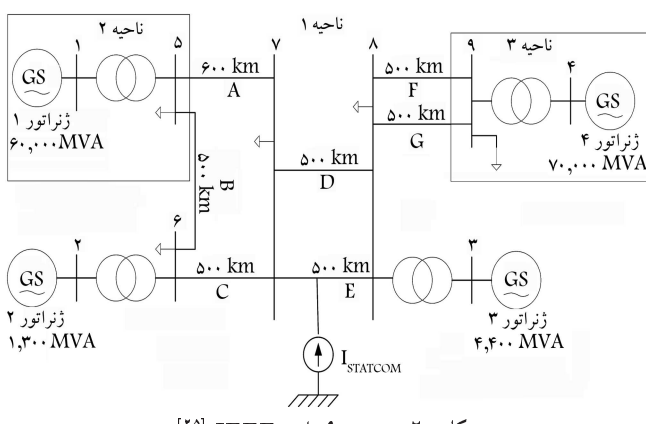
حاشیه‌ی پایداری سیستم کمتر خواهد بود که این مسئله در حوزه‌ی زمان، معادل با زمان بحرانی رفع خطای کمتر است. همچنین میران نوسانات مسیر سیستم، حول نقطه‌ی کار حالت ماندگار، نشان‌دهنده‌ی توانایی سیستم در میراکردن نوسانات توان است. با توجه به این شکل می‌توان اثر هرکدام از کنترل‌کننده‌های طراحی شده را در بهبود پایداری اولین نوسان و میراکردن نوسانات توان مشاهده کرد.

### شبیه‌سازی سیستم ۹ باس IEEE

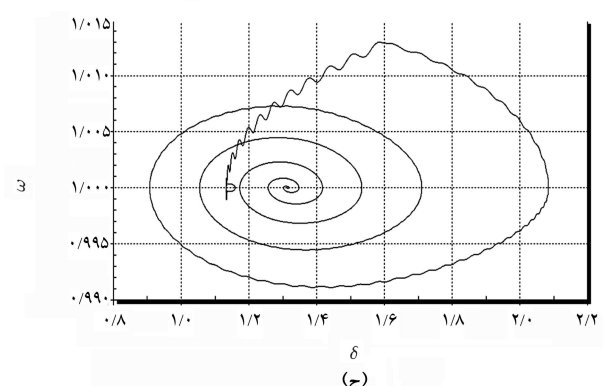
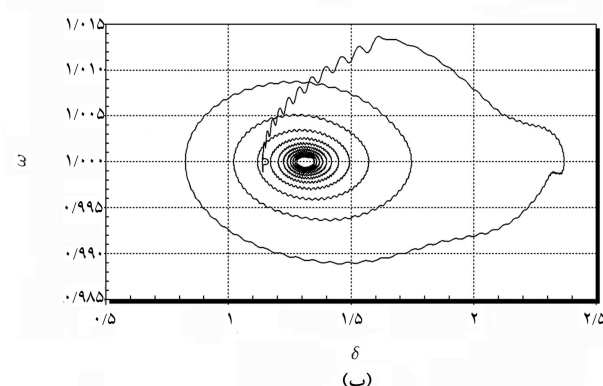
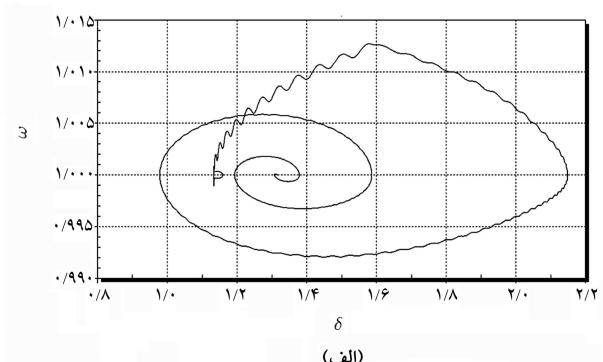
به طور کلی هر سیستم قدرت را می‌توان به صورت تک‌ماشین-باس به نهایت مدل کرد، اما ممکن است این مدل در بسیاری از موارد و با توجه به نوع مطالعه‌ی مورد نظر منجر به نتایج مطلوب شده و یا بعض‌اً هدف طراحی را برآورده نکند. همچنین کنترل‌کننده‌ی طراحی شده، در عمل می‌باشد برروی یک سیستم قدرت واقعی پیاده‌سازی شود که سیستمی چند ماشینه است. از آنجا که ادوات FACTS در سیستم‌های قدرت و برروی خطوط انتقال نصب می‌شوند، لذا بررسی عملکرد کنترل‌کننده‌ی طراحی شده برای این ادوات در یک سیستم چند ماشینه، از اهمیت ویژه‌ی بخوردار است. در این قسمت با درنظرگرفتن یک فاز سیستم ۹ باس [۲۵] IEEE، کنترل‌کننده‌های طراحی شده در قسمت‌های قبل را روی آن پیدا می‌کنیم. چنان که در شکل ۲۰ مشخص شده، این سیستم دارای سه ناحیه است: ژنراتورهای ۱ و ۴ نشان‌دهنده‌ی مجموعه‌ای از ژنراتورها هستند که به ترتیب در نواحی ۲ و ۳ قرار گرفته‌اند. ژنراتور ۴ به عنوان مرجع را ویه در نظر گرفته شده و بنابراین باس ۴ در مطالعات توزیع بار، باس Slack است.

در این تحقیق، محل نصب STATCOM براساس مطالعات توزیع بار تعیین شده و از مرحله‌ی کنترل ولتاژ صرف نظر می‌شود. در این مطالعات STATCOM بر روی خط انتقال E نصب شده است. همچنین STATCOM در حالت ماندگار به صورت خازن ثابت عمل می‌کند و در هنگام وقوع خطا به پایداری سیستم کمک خواهد کرد. در واقع سیگنال کنترل‌کننده به صورت یک سیگنال تکمیلی اعمال می‌شود.

**الف)** استفاده از سیگنال‌های غیر محلی برای کنترل STATCOM ابتدا با این فرض که هیچ سیگنال کنترل تکمیلی برای STATCOM وجود ندارد، یک اتصال کوتاه سه‌فازی روی باس ۷ ایجاد شده و پس از ۱۰۰ میلی ثانیه، برطرف می‌شود. نمودار را ویه داخلي ژنراتورهای ۱، ۲ و ۳ در شکل ۲۱ رسم شده است.



شکل ۲۰. سیستم ۹ باس IEEE [۲۵].

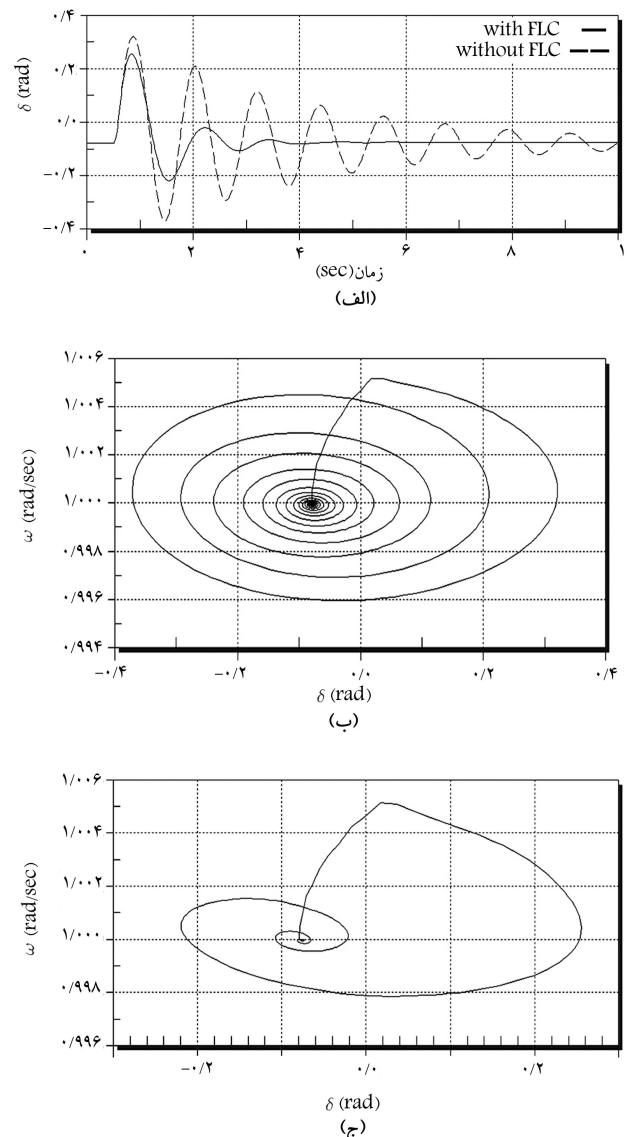


شکل ۱۹. نمودار صفحه‌ی فاز سیستم با استفاده از کنترل‌کننده‌های الف) سوئیچینگ فازی؛ ب) فازی توان؛ ج) فازی فرکانس.

سوئیچینگ STATCOM را در بیشترین مقدار خازنی قرار می‌دهد، لذا پاسخ سیستم برای اولین نوسان با استفاده از این کنترل‌کننده بهینه خواهد شد. به علت تأخیر در تشخیص عبور از نقطه‌ی اوج توان، پاسخ کنترل‌کننده‌ی فازی توان در مقایسه با کنترل‌کننده مشابه فازی فرکانس، از فراجهش بیشتری بخوردار است. به هر حال با استفاده از روش اصلاح شده، عملکرد کنترل‌کننده‌ی فازی توان بهبود یافته است. از نظر میرایی نوسانات، بهترین پاسخ را کنترل‌کننده فازی فرکانس داشته است. کنترل‌کننده‌های سوئیچینگ فازی و فازی توان به ترتیب در رتبه‌های بعدی قرار می‌گیرند. نمودار صفحه‌ی فاز سیستم برای متغیرهای  $\delta$  و  $\omega$ ، در شکل ۱۹ رسم شده است. همان‌گونه که مشاهده می‌شود، نقطه‌ی کار سیستم پس از خطا تغییر یافته و در صورت پایداری، سیستم وارد نقطه‌ی کار جدید خواهد شد. هرقدر مسیر سیستم در هنگام رفع خطا، از نقطه‌ی کار حالت ماندگار خود فاصله‌ی بیشتری داشته باشد،

آن ژنراتور در محاسبات وارد نخواهد شد. با اعمال روش فوق، ژنراتور ۳ به عنوان بحرانی ترین ژنراتور انتخاب خواهد شد. در ادامه، نتایج طراحی کنترل کننده با استفاده از این ایده بررسی خواهد شد. با توجه به نمودار زاویه‌ی داخلي ژنراتور ۳ در شکل ۲۲، کنترل کننده‌ی فازی طراحی شده توائسته پایداری ژنراتور ۳ را بهبود دهد.

همان‌گونه که مشاهده می‌شود، کنترل کننده‌ی طراحی شده علاوه بر بهبود پایداری اولین نوسان، توائسته در میراثدن سریع‌تر نوسانات نیز نقش بهسازانی داشته باشد. نمودار زاویه‌ی داخلي ژنراتورهای ۱ و ۲ در شکل ۲۳ رسم شده است. این کنترل کننده، اوج اولین نوسان را در مورد ژنراتور ۲ نیز کاهش داده اما تأثیر چندانی بر ژنراتور ۱ نداشته است. از آنجا که کنترل کننده براساس فرکانس ژنراتور ۳ طراحی شده است، ایجاد بهترین عملکرد برای این ژنراتور دور از انتظار نیست. اکنون محل خطا را تغیر داده و تأثیر کنترل کننده‌ی طراحی شده برای خطا در نقاط مختلف سیستم بررسی خواهد شد. میراث کاهش اوج نوسانات برای هر حالت در جدول ۴ آرایه شده است.



شکل ۲۲. (الف) نمودار زاویه‌ی داخلي ژنراتور ۳؛ (ب) نمودار صفحه‌ی فاز ژنراتور ۳ بدون کنترل کننده؛ (ج) نمودار صفحه‌ی فاز ژنراتور ۳ با کنترل کننده.

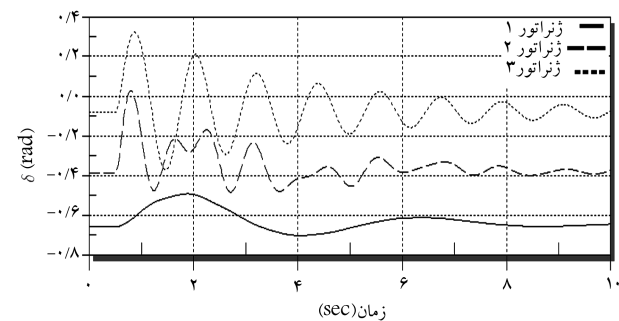
چنان‌که مشاهده می‌شود، تغییرات زاویه‌ی ژنراتور ۳ بیش از سایر ژنراتورها بوده است. یکی از ایده‌های مطرح شده برای طراحی کنترل کننده در روش فرکانس، استفاده از فرکانس تنها یک ژنراتور به عنوان ژنراتور بحرانی است.

ژنراتور بحرانی ژنراتوری است که بیشترین تغییرات را پس از وقوع خطا داشته است. انتخاب ژنراتور بحرانی به عواملی چون محل خطأ، تابت اینزرسی ژنراتورها و محل نصب STATCOM بستگی دارد. هرچه فاصله‌ی محل وقوع خطأ از پایان ژنراتور کم‌تر باشد، مقدار انحراف زاویه‌ی ژنراتور، پس از وقوع خطأ، بیشتر خواهد بود. همچنین میراث تأثیرگذاری STATCOM بر بهبود پایداری یک ژنراتور، به محل نصب STATCOM و آرایش شبکه بستگی دارد. برای پیدا کردن بحرانی ترین ژنراتور، دو راه حل پیشنهاد می‌شود. در راه حل اول، با این فرض که سیگنال سرعت تمامی ژنراتورها در محل کنترل کننده در دسترس نباشد، کنترل کننده در هر لحظه و براساس سرعت ژنراتوری که بیشترین انحراف را از سرعت حالت ماندگار داشته است، عمل ژنراتور را در حضور STATCOM کاهش می‌دهد. در راه حل دوم، در جدول اول، با این فرض که سیگنال سرعت یعنی سیگنال‌های ورودی مختلف، مناسب نیست. راه حل دیگر که تابه‌هنگام است، بررسی راهکارهای مختلف خطأ و تعیین بحرانی ترین ژنراتور با توجه به رفتار زاویه و فرکانس ژنراتورها، پس از خطاست. برای این منظور، زمان بحرانی رفع خطأ به‌ازای اتصال کوتاه بر روی پایه‌های ژنراتوری محاسبه خواهد شد. همچنین میراث بهبود این زمان در حضور STATCOM برای هر ژنراتور به دست می‌آید. تعیین بحرانی ترین ژنراتور براساس زمان بحرانی رفع خطأ معادل هر ژنراتور است که از رابطه‌ی ۶ محاسبه می‌شود:

$$CCTE_i = CCT_i \times (1 - D_i) \quad i = 1, 2, \dots, n \quad (6)$$

که در آن  $CCTE_i$ : زمان بحرانی رفع خطای معادل ژنراتور  $i$ ؛  $D_i$ : ضریب تأثیرگذاری STATECOM برای زمان  $n$ ، تعداد ژنراتورهای سیستم می‌باشد. مقدار  $D_i$  به صورت نرمالیزه شده در نظر گرفته می‌شود. برای محاسبه  $D_i$ ، مقدار بیشترین بهبود برابر ۱ در نظر گرفته شده و سایر موارد نسبت به آن محاسبه می‌شوند. سپس این مقادیر به میراث کم‌ترین تأثیر به سمت صفر شیفت داده می‌شوند. زمان بحرانی رفع خطأ و میراث بهبود آن برای پایه‌های ژنراتوری، در جدول ۳ آورده شده‌اند.

بدیهی است اگر تأثیر CCT STATCOM بر ژنراتوری صفر باشد، CCT



شکل ۲۱. نمودار زاویه‌ی داخلي ژنراتورهای ۱، ۲ و ۳.

جدول ۳. زمان بحرانی رفع خطأ و تأثیر STATCOM بر آن.

	۸	۶	۵	Faulted Bus
۱۷۸	۱۸۳	۱۲۰		CCT(ms)
۱۸۹	۱۹۲	۱۲۱		CCT with STATCOM(ms)

جدول ۶. میزان کاهش اوج اولین نوسان برای کنترل‌کننده فازی براساس فرکانس زنرتور<sup>۳</sup>.

زنرتور <sup>۳</sup>	زنرتور <sup>۲</sup>	زنرتور <sup>۱</sup>	باس خطا
۰,۲	۰,۱۱	—	۵
۰,۶۰	۰,۱۲	۰,۱۲	۶
۰,۱۶	۰,۰۵	۰,۰۱	۷
۰,۱۴۷	۰,۸۲	—	۸

### نتیجه‌گیری

در این نوشتار برخی از روش‌های کنترل STATCOM برای بهبود پایداری گذراست سیستم قدرت ارائه شد. برای این منظور، مفاهیم پایداری گذرا معرفی، و تأثیر ادوات STATCOM بر آن بررسی شد. نشان داده شد که با استفاده از منطق فازی می‌توان طراحی کنترل‌کننده را با توجه به عدم قطعیت‌های موجود در سیستم انجام داد و ایده‌های طراحی را به سادگی در اجزاء کنترل‌کننده پیاده‌سازی کرد. به طور کلی، روش‌های پیشنهادی براساس سیگنال ورودی کنترل‌کننده، به دو دسته‌ی محلی و غیرمحلی تقسیم شد. سهولت اندازه‌گیری و کاهش هزینه از مزایای استفاده از سیگنال‌های محلی است. در عوض با اندازه‌گیری سیگنال‌های کنترلی در نقاط مختلف می‌توان اطلاعات بیشتری را از سیستم کسب کرد و کنترل مؤثرتری انجام داد. مسئله‌ی تشخیص رخداد خطای منجر به ناپایداری گذرا، از جمله مواردی است که به آن پرداخته شد. با استفاده از سیستم تشخیص‌دهنده فازی، زمان مناسب برای سوئیچینگ به حالت پایداری گذرا و مدت زمان تداوم آن تعیین شد. سپس یک کنترل‌کننده فازی برای انجام اعمال کنترلی لازم در زمان‌های مختلف پیشنهاد شد. عملکرد هرکدام از کنترل‌کننده‌های طراحی شده، با استفاده از نتایج شبیه‌سازی بر روی سیستم تک‌ماشین-باس بی‌نهایت و سیستم چندماشینه بررسی شده است. نشان داده شد که با تنظیم صحیح بارمترهای کنترل‌کننده فازی می‌توان پاسخ مناسبی برای بهبود پایداری سیستم به دست آورد.

### فهرست علامت

- i : inductive
- c : capacitive
- p : positive
- n : negative
- b : big
- v : very

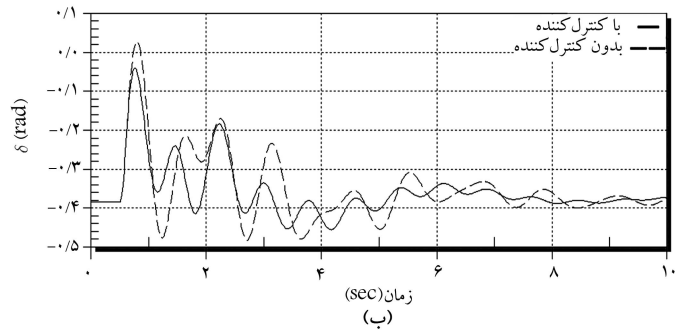
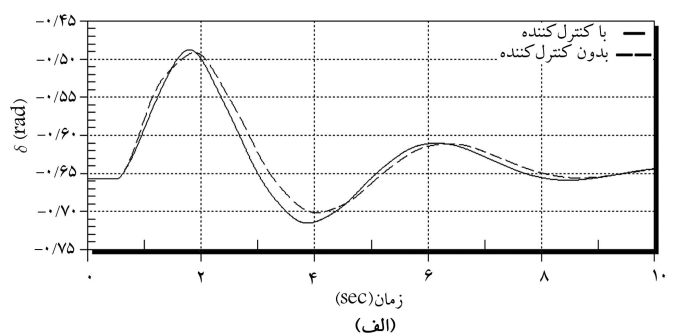
Without Control (WC) : بدون کنترل

Fuzzy Switching (FS) : کنترل‌کننده فازی سوئیچینگ

Fuzzy Frequency (FF) : کنترل‌کننده فازی که از فرکانس باس STATCOM استفاده می‌کند.

Active Power (AP) : کنترل‌کننده فازی که از توان فعال خط انتقال استفاده می‌کند.

Modified Active Power (MAP) : کنترل‌کننده فازی که از توان فعال خط انتقال استفاده کرده و اصلاح شده است.



شکل ۲۳. نمودار زاویه‌ی داخلی: (الف) زنرتور ۱؛ (ب) زنرتور ۲ با کنترل‌کننده فازی.

ب) استفاده از سیگنال‌های محلی برای کنترل STATCOM

کنترل‌کننده‌ی طراحی شده با استفاده از ورودی توان فعال خط انتقال و فرکانس باس STATCOM نیز پیاده‌سازی شده و نتایج آن به ترتیب در جداول ۵ و ۶ آورده شده است. برای تهیه‌ی این جداول، بیشترین میزان انحراف زاویه‌ی زنرتورها به‌ازای هر خط نسبت به حالتی که روی STATCOM کنترل تکمیلی (پایداری گذرا) وجود نداشته اندازه‌گیری شده و به صورت٪ بیان شده است. به عنوان مثال، عدد ۰,۶ در جدول به این معنی است که بیشینه‌ی انحراف زاویه‌ی زنرتور خاصی پس از اعمال کنترل تکمیلی به ۶٪ حالت قبل رسیده است.

جدول ۴. میزان کاهش اوج اولین نوسان برای کنترل‌کننده فازی براساس فرکانس زنرتور<sup>۳</sup>.

زنرتور <sup>۳</sup>	زنرتور <sup>۲</sup>	زنرتور <sup>۱</sup>	باس خطا
۰,۲۵	۰,۲۳	۰,۰۸	۵
۰,۳۱	۰,۲۲	۰,۱۱	۶
۰,۱۷۵	۰,۱۴	—	۷
۰,۱۹۵	۰,۲۵	—	۸

جدول ۵. میزان کاهش اوج اولین نوسان برای کنترل‌کننده فازی براساس توان فعال خط انتقال.

زنرتور <sup>۳</sup>	زنرتور <sup>۲</sup>	زنرتور <sup>۱</sup>	باس خطا
۰,۱۲۵	—	—	۵
۰,۸۱	—	—	۶
۰,۲۳	۰,۱۱	—	۷
۰,۱۲	۰,۱۲	—	۸

## پانوشت

1. critical clearing time
2. flexible alternating current transmission systems (FACTS)
3. single machine infinit bus
4. Zadeh
5. centre of inertia
6. signal conditioning
7. power oscillation damping

## منابع

1. Kundur, P. *Power System Stability and Control*, McGraw-Hill, Inc. (1994).
2. Anderson, P.M. and Fouad, A.A. *Power System Control and Stability*, John Wiley & Sons INC., Publications, (2003).
3. PAI, M.A. *Power System Stability*, North-Holland Publishing Company (1981).
4. Moechta, M.; Cheng, T.C. and Hu, L. "Transient Stability of Power System-A Survey", ISBN 0-7803-2636-9.
5. Hingorani, N.G. and Gyugyi, L. *Understanding FACTS*, The Institute of Electrical and Electronics Engineers, Inc., New York (2000).
6. Cai, L. "Robust Coordinated Control of Facts Devices in Large Power Systems", PHD Thesis, Von der Fakultät für fIngenieurwissenschaften der Universität Duisburg-Essen zur Erlangung des akademischen Grades eines (2004).
7. Wang, H.F. "Selection of Robust Installing Locations and Feedback Signals of FACTS-based Stabilizers in Multi-machine Power Systems," *IEEE Trans. Power Syst.*, **14**, (2), pp. 569-574 (1999).
8. Noroozian, M.; Ghandhari, M.; Anderson, G.; Gronquist, J. and Hiskens, I. "A Robust Control Strategy for Shunt and Series Reactive Compensators to Damp Electrical Oscillations", *IEEE Transactions on Power Delivery*, **16**, (4), pp.812-817 (2001).
9. Fang, D.Z.; Xiaodong, Y.; Chung, T.S. and Wong, K.P. "Adaptive Fuzzy-Logic SVC Damping Controller Using Strategy of Oscillation Energy Descent", *IEEE Transactions on Power Systems*, **19**, (3), pp.1414-1421 (2004).
10. Dash, P.K.; Morris, S. and Mishra, S. "Design of a Non-linear Variable-Gain Fuzzy Controller for FACTS Devices", *IEEE Transactions on Control Systems Technology*, **12**, (3), pp.428-438 (2004).
11. Menniti, D.; Burgio, A.; Pinnarelli, A. and Sorrentito, N. "Synchronizing Fuzzy Power System Stabilizer and Fuzzy FACTS Device Stabilizer to damp Electromechanical Oscillations in a Multi-Machine Power System", IEEE Bologna Power Tech Conference (2003).
12. Kazemi, A. and Sohrforouzani, M.V. "Power System Damping Using Fuzzy Controlled FACTS Devices", International Conference on Power System Technology-POWERCON, Singapore, pp.1623-1628 (November 2004).
13. Haque, M.H. "Use of Energy Function to Evaluate the Additional Damping Provided by STATCOM", *Electric Power System Research*, **72**, pp. 195-202 (2004).
14. Abazari, S.; Mahdavi, J.; Ehsan, M. and Zolghadri, M. "Transient Stability Improvement by Using Advanced Static Var Compensator", IEEE Bologna PowerTech Conference (June 2003).
15. Zimmermann, H.J. (Hans-Jurgen) *Fuzzy Set Theory and it's Applications*, Kluwer Academic Publishers, 3th Edition, (1996).
16. Langari, R. *Fuzzy Control Synthesis and Analysis*, Willey Publications (1995).
17. Siler, W. and Buckley, J.J. *Fuzzy Expert Systems and Fuzzy Reasoning*, John Willey & Sons Inc., (2005).
18. Jantzen, J. *Tutorial on Fuzzy Logic*, Tech. report no. 98-E868, Technical University of Denmark, Department of Automation (Aug1998).
19. Jager, R. *Fuzzy Logic in Control*, PHD Thesis, elektrotechnisch ingenieur, geborente Amsterdam (1995).
20. Dash, P.K.; Stella Morris and Basu, K.P. "A fuzzy variable structure current controller for flexible ac transmission system proceeding of transmision and distribution conference and exhibition, pp.330-335 (2002).
21. Dash, P.K. and Mishra, S. "Damping of multimodal power system oscillations by FACTS devices using non-linear Takagi-Sugeno fuzzy controller", *Electrical Power and Energy Systems*, **25**, pp. 481-490 (2003).
22. Qun Gu, Anupama Pandey, Shelli K. and Starrett. "Fuzzy logic control schemes for static VAR compensator to control system damping using global signal", *Electric Power System Research*, **67**, pp. 115-122 (2003).
23. Tomonobu Senju, Marta Molinas, Katsumi Uezato "Multi-Machine Power System Stabilization with FACTS Equipment Applying Fuzzy Control", 35th conference on decision and control, Kobe, Japan, pp.2202-2207 (December 1996).
24. Munther A. Hassounah, Hsien-Chiarn Lee, Eyad H. Abed. "Washout Filters in Feedback Control: Benefits, Limitations and Extensions", Proceeding of American Control Conference, Boston (2004).
25. Available online at: <http://psdyn.ece.wisc.edu/IEEE benchmarks/>.